

## О НЕФОНОННОЙ СВЕРХПРОВОДИМОСТИ СОЕДИНЕНИЙ ТИПА А-15

© Р.О. Зайцев, Ю.В. Михайлова

Российский научный центр «Курчатовский институт»,  
123182 Москва, Россия

Государственный научный центр «НИИ теплоприбор»,  
129085 Москва, Россия

(Поступила в Редакцию 5 января 1996 г.

В окончательной редакции 13 июня 1996 г.)

Электронная структура зоны проводимости изучается в пределе бесконечно большой положительной энергии Хаббарда. Произведено вычисление парциальных амплитуд рассеяния, на основе чего определены условия возникновения куперовской неустойчивости и построена фазовая диаграмма существования сверхпроводящего состояния.

Невозможность объяснения температурного хода удельного электрического сопротивления без использования достаточно сильного электрон-электронного взаимодействия [1] для всех металлических соединений со структурой А-15 указывает на существенную роль кулоновских взаимодействий по сравнению с обычным электрон-фононным взаимодействием. Еще более сложной оказывается зависимость температуры сверхпроводящего перехода  $T_c$  от положения уровня Ферми; это следует из табл. 1, сделанной для всех известных сверхпроводников со структурой А-15.

Здесь  $n_d$  — среднее число  $d$ -электронов, приходящихся на А-катион переходного элемента,  $n_p$  — среднее число  $p$ -электронов, приходящихся на В-анион в изучаемых соединениях  $A_3B$ . В нижней половине табл. 1 изображена зависимость  $T_c$  от  $(3n_d + n'_d)$ , где  $n'_d$  — среднее число  $d$ -электронов, приходящихся на один атом переходного D-элемента в соединении  $A_3D$ . Экспериментально наблюдаемое значение  $T_c$  (К) записано в скобках после соответствующего элемента.

Принадлежность к той или иной подгруппе, соответствующей заданному  $3n_d + n_p$  (или  $3n_d + n'_d$ ), для каждого конкретного соединения  $A_3B$  (или  $A_3D$ ) определяется в предположении пустой  $s$ -оболочки А-катаиона и полностью заполненной  $s$ -оболочки В-аниона. Что же касается числа  $n'_d$  для D-элемента одной из переходных групп, то и здесь мы считаем его  $s$ -оболочку незаполненной.

Таким образом, все сверхпроводящие соединения типа  $A_3B$  естественно разбиваются на две группы из восьми подгрупп, каждая из которых соответствует определенному числу  $14 \leq 3n_d + n_c \leq 28$ .

Таблица 1

$3n_d + n_p$	AS <sub>3</sub> B (A — переходный, B — непереходный элемент)
14	Zr <sub>3</sub> Sn (0.94), Zr <sub>3</sub> Pb (0.76)
15	Ti <sub>3</sub> Sb (5.8)
16	V <sub>3</sub> Al (9.6), V <sub>3</sub> Ga (16.5), V <sub>3</sub> In (13.9)
16	Nb <sub>3</sub> Al (18.55), Nb <sub>3</sub> Ga (20.3), Nb <sub>3</sub> In (9.2)
16.8	Nb <sub>3</sub> Al <sub>0.2</sub> Ge <sub>0.8</sub> (20.05)
17	V <sub>3</sub> Si (17.1), V <sub>3</sub> Ge (6.1), V <sub>3</sub> Sn (3.8)
17	Nb <sub>3</sub> Ge (6.9), Nb <sub>3</sub> Sn (18.0), Ta <sub>3</sub> Sn (5.8)
18	V <sub>3</sub> As (< 1.02), V <sub>3</sub> Sb (0.8), Nb <sub>3</sub> Sb (< 1.02), Nb <sub>3</sub> Bi (0)
19	Cr <sub>3</sub> Ga (< 0.34), Mo <sub>3</sub> Al (0.58), Mo <sub>3</sub> Ga (0.76)
20	Cr <sub>3</sub> Si (< 1.2), Cr <sub>3</sub> Ge (< 1.2), Mo <sub>3</sub> Si (1.3), Mo <sub>3</sub> Ge (1.43)
21	
22	Mo <sub>3</sub> O (4.5), W <sub>3</sub> O (0.4–3.35)
$3n_d + n'_d$	A <sub>3</sub> D (A и D — переходные элементы)
21	Ti <sub>3</sub> Ir (4.3)
22	Ti <sub>3</sub> Pt (0.49), Zr <sub>3</sub> Au (0.92)
23	Ti <sub>3</sub> Au (< 0.015), Zr <sub>3</sub> Au (0.92), V <sub>3</sub> Os (5), Nb <sub>3</sub> Os (0.95)
24	V <sub>3</sub> Co (< 0.015)
25	V <sub>3</sub> Pt (3.2), Nb <sub>3</sub> Pt (9.8), Ta <sub>3</sub> Pt (0.4)
25	Mo <sub>3</sub> Tc (14), Mo <sub>3</sub> Re (15)
25.7	Nb <sub>3</sub> Pt <sub>0.3</sub> Au <sub>0.7</sub> (12.7)
26	V <sub>3</sub> Au (0.8), Nb <sub>3</sub> Au (10.8), Ta <sub>3</sub> Au (< 0.015)
26	Cr <sub>3</sub> Ru (3.3), Mo <sub>3</sub> Os (7.2)
27	Cr <sub>3</sub> Ir (0.17), Mo <sub>3</sub> Ir (8.5)
28	Cr <sub>3</sub> Pt (< 0.3), Mo <sub>3</sub> Pt (4.5)

При заданном числе электронов, приходящихся на одну элементарную ячейку —  $(3n_d + n_p)$  или  $(3n_d + n'_d)$ , — обнаруживаются аномалии, связанные с возможностью повышения  $T_c$  при переходе к B-элементу с большим числом нуклонов. Если же рассматривать изменение  $T_c$  в зависимости от числа электронов, приходящихся на ячейку, тогда проявляются закономерности, открытые Маттиасом [2]. Температура сверхпроводящего перехода имеет два резких максимума: при  $3n_d + n_p \cong 16.8$  ( $T_c = 20.05$ ) и при  $3n_d + n'_d \cong 25.7$  ( $T_c = 12.7$ ).

Указанные закономерности, необъяснимые с точки зрения чисто электрон-фононного взаимодействия, удается понять на основании приближения сильной связи с учетом сильного электрон-электронного отталкивания внутри одного и того же атома — так называемая обобщенная модель Хаббарда-Эмери [3,4].

Будем рассматривать фазовую диаграмму сверхпроводящего состояния в переменных  $(n_d, n_c)$ , каждая из которых изменяется от нуля до десяти.

В соответствии с зонными расчетами [1]  $d$ -состояния A-катионов расщепляются кристаллическим полем на четыре подуровня. Низшее

$xy$ -состояние отделено от  $(xz, yz)$ -состояний не меньше чем на  $3/2$  eV. В свою очередь следующее  $3z^2 - r^2$ -состояние отделено от  $x^2 - y^2$ -состояния на величину  $\approx 1$  eV. При этом расстояние между  $(xz, yz)$ - и  $3z^2 - r^2$ -состояниями имеет тот же порядок величины. Таким образом, необходимо рассмотреть последовательное заполнение  $xy$ -,  $(xz, yz)$ -,  $3z^2 - r^2$ -,  $x^2 - y^2$ -состояний при одновременном заполнении  $p$ -оболочек В-ионов непереходного элемента. Если же В-атомы относятся к элементам переходных групп, тогда необходимо учесть расщепление  $d$ -оболочки и рассмотреть последовательное заполнение  $t_{2g}$ - и  $e_g$ -оболочек. В изучаемых соединениях В-атомы находятся в вершинах куба, и поэтому необходимо учитывать трехкратное вырождение  $p$ - или  $t$ -состояний, а также двукратное вырождение  $e_g$ -состояний В-атомов.

Нашей задачей является построение фазовой диаграммы в переменных  $n_d$ ,  $n_p$  для соединений  $A_3B$  (с непереходным элементом), а также фазовой диаграммы в переменных  $n_d$ ,  $n'_d$  для соединений  $A_3D$ .

## 1. Уравнение состояния и сверхпроводимость соединений $A_3B$ с непереходным В-элементом

При заполнении  $d$ -оболочки имеем десять целочисленных интервалов для  $n_d$ , разделенных на четыре подгруппы: двухэлектронный интервал, отвечающий заполнению  $xy$ -оболочки, четырехэлектронный интервал, отвечающий заполнению  $(xz, yz)$ -оболочки, двухэлектронный интервал для  $(3z^2 - r^2)$ -оболочки и двухэлектронный интервал для  $(x^2 - y^2)$ -оболочки.

Вторая переменная  $n_p$  пробегает значения от нуля до шести, что соответствует заполнению  $p$ -оболочки непереходного элемента. В случае соединения переходного элемента А с переходным D-элементом переменная  $n_d$  пробегает значения от нуля до шести, соответствующие заполнению шестиэлектронной  $t$ -оболочки, а затем от семи до десяти, когда заполняется четырехэлектронная  $e$ -оболочка.

Как видно из табл. 1, конечное значение температуры сверхпроводящего перехода  $T_c$  обнаруживается при условии  $n_p + 3n_d \geq 14$ . Поэтому заполнение нижней  $xy$ -подзоны, для которой  $n_d \leq 2$ , для любых  $n_p \leq 6$  не представляет интереса.

При рассмотрении заполнения вырожденной  $\pi$ - $(xz, yz)$ -подзоны используем то обстоятельство, что интеграл перескока  $J_\pi$  ( $\cong 1$  eV) вдоль цепочки значительно превышает энергию гибридизации между  $\pi$ - и  $p$ -электронами, но при этом, конечно, остается меньше энергии Хаббарда для  $\pi$ -электронов.

Если предположить, что энергия Хаббарда является наибольшим энергетическим параметром, тогда энергия возбуждений имеет обычный вид, но с интегралом перескока  $\tau$ , зависящим от плотности  $\pi$ -электронов [3],

$$\xi_p = 2\tau \cos(p_z) + \epsilon_d. \quad (1)$$

Здесь  $\tau = J b_\pi^2 f_\pi$  — произведение интеграла перескока на сумму квадратов генеалогических коэффициентов  $b_\pi^2$  и на концевой множитель  $f_\pi$ , которые определены далее для каждого целочисленного интервала по  $n_\pi$ . Будем рассматривать начало заполнения  $\pi$ - $(xz, yz)$ -подзоны,  $-0 < n_p < 2$ .

Если считать энергию Хаббарда бесконечной, тогда уравнение состояния легко записать для каждого целочисленного интервала  $n_\pi$

$$n_\pi = 4f_\pi \sum_{\mathbf{p}} \left\{ n_F \left( \xi_{\mathbf{p}}^{(1)} \right) \right\}, \quad f_\pi^{(1)} = 1 - (3n_\pi/4),$$

$$\xi_{\mathbf{p}}^{(1)} = 2f^{(1)} J \cos p_z + \varepsilon_d, \quad 0 < n_\pi < 1,$$

$$n_\pi = 1 + 3f_\pi \sum_{\mathbf{p}} \left\{ n_F \left( \xi_{\mathbf{p}}^{(2)} \right) \right\}, \quad f_\pi^{(2)} = (2 + n_\pi)/12,$$

$$\xi_{\mathbf{p}}^{(2)} = 3f_\pi^{(2)} J \cos p_z + \varepsilon_d, \quad 1 < n_\pi < 2. \quad (2)$$

$p$ -электроны сильно гибридизуются только с  $e$ -электронами. Однако они сами по себе имеют вероятность перескока порядка  $20 \text{ mRy} \cong 0.3 \text{ eV}$ .

Предположим, что энергия Хаббарда  $p$ -электронов превышает энергию его перескока  $|t|$ , тогда в приближении «Хаббард I» [3] имеем

$$n_p = 2f_p \sum_{\mathbf{p}, \lambda} n_F \left( \xi_{\mathbf{p}}^{(\lambda)} \right), \quad f_p = 1 - (5n_p/6), \quad 0 < n_p < 1,$$

$$n_p = 1 + 3f_p \sum_{\mathbf{p}, \lambda} n_F \left( \xi_{\mathbf{p}}^{(\lambda)} \right), \quad f_p = (4 - n_p)/18, \quad 1 < n_p < 2,$$

$$n_p = 2 + \frac{4}{3}f_p \sum_{\mathbf{p}, \lambda} n_F \left( \xi_{\mathbf{p}}^{(\lambda)} \right), \quad f_p = (5n_p - 6)/36, \quad 2 < n_p < 3,$$

$$\xi_{\mathbf{p}}^{(1)} = b_p^2 f_p 2t \left[ \cos p_x + \beta (\cos p_y + \cos p_z) \right] + \varepsilon_p,$$

$$\xi_{\mathbf{p}}^{(2)} = b_p^2 f_p 2t \left[ \cos p_y + \beta (\cos p_z + \cos p_x) \right] + \varepsilon_p,$$

$$\xi_{\mathbf{p}}^{(3)} = b_p^2 f_p 2t \left[ \cos p_z + \beta (\cos p_y + \cos p_x) \right] + \varepsilon_p. \quad (3)$$

Здесь и далее  $n_F(\xi)$  — распределение Ферми,  $\beta < 1$ .

При заданной энергетической разности  $\varepsilon_p - \varepsilon_d$  система уравнений (2) и (3) определяет средние числа заполнения  $n_\pi$  и  $n_p$  для области  $\{0 < n_\pi < 2, 0 < n_p < 3\}$ . Уравнения в оставшихся областях  $\{0 < n_\pi < 2, 3 < n_p < 6\}, \{2 < n_\pi < 4, 0 < n_p < 6\}$  могут быть получены из (2), (3) с помощью преобразования частично-дырочной симметрии  $n_\pi \rightarrow 4 - n_\pi, n_p \rightarrow 6 - n_p, \varepsilon_{p,d} \rightarrow -\varepsilon_{p,d}$ .

Константа БКШ  $\lambda$  была определена отдельно для каждого типа возбуждений [5,6]. В случае нулевой гибридизации имеем следующее:

$$\lambda = -\frac{2\varepsilon_\pi \gamma_\pi}{w_\pi f_\pi^2 b_\pi^4} \rho_\pi^* \left( -\frac{\varepsilon_\pi}{b_\pi^2 f_\pi w_\pi} \right) - \frac{2\varepsilon_p \gamma_p}{w_p f_p^2 b_p^4} \rho_p^* \left( -\frac{\varepsilon_p}{b_p^2 f_p w_p} \right), \quad (4)$$

$\rho_k^*(\varepsilon) = \sum_{\mathbf{p}} \delta(\varepsilon_k(\mathbf{p}) - \varepsilon)$  — затравочные плотности состояний,  $\gamma_\pi, \gamma_p$  — безразмерные амплитуды рассеяния возбуждений, которые были вычислены по методу Дайсона [5] и сведены в табл. 2. Для  $\pi$ -возбуждений одномерного типа  $\rho_\pi^*(x) = (\pi \sqrt{1 - x^2})^{-1}$ .

Таблица 2

Заполнение	$\gamma_\pi$	$f_\pi$	$b_\pi^2$
$0 < n_\pi < 1$	1	$(1 - 3n_\pi)/4$	1
$1 < n_\pi < 2$	$3/4$	$(2 + n_\pi)/12$	$3/2$
$2 < n_\pi < 3$	$-3/4$	$(6 - n_\pi)/12$	$3/2$
$3 < n_\pi < 4$	-1	$(3n_\pi - 8)/4$	1
Заполнение	$\gamma_p$	$f_p$	$b_p^2$
$0 < n_p < 1$	1	$1 - 5n_p/6$	1
$1 < n_p < 2$	$3/2$	$(4 - n_p)/18$	3
$2 < n_p < 3$	$2/3$	$(5n_p - 6)/36$	2
$3 < n_p < 4$	$-2/3$	$(24 - 5n_p)/36$	2
$4 < n_p < 5$	$-3/2$	$(n_p - 2)/18$	3
$5 < n_p < 6$	-1	$(5n_p - 24)/6$	1

В изотропном пределе

$$\rho_p^*(\varepsilon) = \sqrt{1 - \varepsilon^2} (4/\pi).$$

Вместо переменных  $\varepsilon_\pi$  и  $\varepsilon_p$  имеет смысл ввести угловые переменные  $x = -\cos \alpha$ ,  $\varepsilon = -\cos(\beta/2)$ .

Отсюда

$$\lambda = -\frac{(2\gamma_\pi) \operatorname{ctg} \alpha}{\pi f_\pi b_\pi^2} - \frac{2\gamma \sin \beta}{\pi f_p b_p^2}. \quad (5)$$

Записанные в этих же переменных уравнения состояния (2), (3) при  $T = 0$  имеют следующий вид:

$$n_\pi = 4f_\pi \alpha / \pi, \quad f_\pi = 1 - (3n_\pi/4), \quad 0 < n_\pi < 1, \quad 0 < \alpha < \pi,$$

$$n_\pi = 1 + 3f_\pi \alpha / \pi, \quad f_\pi = (2 + n_\pi)/12, \quad 1 < n_\pi < 2,$$

$$n_\pi = 2 + 4f_\pi \alpha / \pi, \quad f_\pi = (6 - n_\pi)/12, \quad 2 < n_\pi < 3,$$

$$n_\pi = 3 + f_\pi \alpha / \pi, \quad f_\pi = (3n_\pi - 8)/4, \quad 3 < n_\pi < 4,$$

$$n_p = 6f_p(\beta - \sin \beta)/2\pi, \quad f_p = 1 - (5n_p/6), \quad 0 < n_p < 1, \quad 0 < \beta < 2\pi,$$

$$n_p = 1 + 9f_p(\beta - \sin \beta)/2\pi, \quad f_p = (4 - n_p)/18, \quad 1 < n_p < 2,$$

$$n_p = 2 + 4f_p(\beta - \sin \beta)/2\pi, \quad f_p = (5n_p - 6)/36, \quad 2 < n_p < 3,$$

$$n_p = 3 + 9f_p(\beta - \sin \beta)/2\pi, \quad f_p = (24 - 5n_p)/36, \quad 3 < n_p < 4,$$

$$n_p = 4 + 6f_p(\beta - \sin \beta)/2\pi, \quad f_p = (n_p - 2)/18, \quad 4 < n_p < 5,$$

$$n_p = 5 + f_p(\beta - \sin \beta)/2\pi, \quad f_p = (5n_p - 24)/6, \quad 5 < n_p < 6. \quad (6)$$

Соотношения (5), (6) вместе с табличными значениями  $\gamma_\pi$  и  $\gamma_p$  решают задачу о сверхпроводимости при температуре абсолютного нуля.

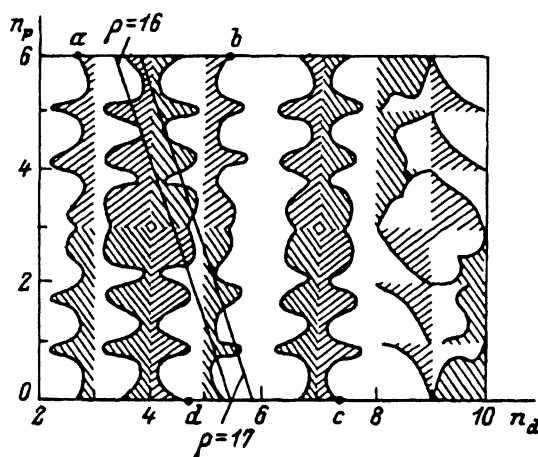


Рис. 1. Часть фазовой диаграммы, отвечающая  $0 < n_p < 6$ ,  $2 < n_d < 6$  (или  $0 < n_\pi < 4$ ).

В области, заключенной внутри параллелограмма  $absd$ , находятся известные сверхпроводящие соединения  $A_3B$  со структурой А-15 и непереходным В-элементом. Заштрихованы сверхпроводящие области, установленные согласно настоящей теории.

Условие возникновения сверхпроводимости  $\lambda = 0$  устанавливает связь между параметрами  $\alpha$  и  $\beta$  и через уравнения состояния (6) определяет область существования сверхпроводящего состояния в переменных  $n_p$ ,  $n_\pi$ . Соединения, находящиеся на одной и той же линии электронейтральности, могут быть или не быть сверхпроводниками в зависимости от того, пересекает или не пересекает линия электронейтральности область существования сверхпроводящего состояния.

На рис. 1 изображена рассмотренная нами часть фазовой диаграммы, отвечающая  $0 < n_p < 6$ ,  $2 < n_d$  (или  $0 < n_\pi < 4$ ). Из-за большой плотности состояний для движения вдоль цепочек роль  $p$ -электронов сводится в основном к «модуляции» фазовой диаграммы вдоль четырех прямых линий  $n_d = 2 + (4/5)$ ,  $n_d = 4 \pm (4/7)$ ,  $n_d = 6 - (4/5)$ .

Как видно из этого рисунка, для целей сравнения с экспериментом необходимо рассмотреть заполнение  $(3z^2 - r^2)$ -состояний — так называемая  $\sigma$ -зона. Согласно зонным расчетам [1], эти состояния весьма слабо гибридизуются с  $p$ -состояниями непереходного элемента. Однако их интеграл перескока вдоль цепочки имеет порядок 1 eV и по-прежнему мал по сравнению с энергией Хаббарда. Если считать энергию Хаббарда самым большим энергетическим параметром, тогда энергия возбуждений имеет вид, аналогичный (1) с концевым множителем  $f_\sigma = 1 - n_\sigma/2$  для  $0 < n_\sigma < 1$ ,  $f_\sigma = n_\sigma/2$  для  $1 < n_\sigma < 2$ .

Энергия возбуждений равна

$$\xi_p = 2t_\sigma f_\sigma \cos p_z + \varepsilon_\sigma. \quad (7)$$

Таким образом, в нашем приближении энергии  $(xz, yz)$ -возбуждений и  $(3z^2 - r^2)$ -возбуждений отличаются только концевыми множителями  $f_\sigma$ . По этой причине при написании уравнений состояния при  $T = 0$  удобно ввести те же угловые переменные  $\alpha$  и  $\beta$

$$n_\sigma = 2f_\sigma[\alpha/\pi], \quad f_\sigma = 1 - (n_\sigma/2), \quad 0 < n_\sigma < 1, \quad 0 < \alpha < \pi,$$

$$n_\sigma = 1 + f_\sigma[\alpha/\pi], \quad f_\sigma = n_\sigma/2, \quad 1 < n_\sigma < 2. \quad (8)$$

Уравнения состояния для  $p$ -электронов остаются неизменными (6). Эффективная константа БКШ, вычисленная в пределе бесконечно большой положительной энергии Хаббарда как для  $\sigma$ -, так и для  $p$ -электронов, имеет тот же вид (4), но с другими амплитудами ( $\gamma_\sigma$ ) рассеяния  $\sigma$ -электронов

$$\lambda = -\frac{2\gamma_\sigma \operatorname{ctg} \alpha}{\pi f_\sigma} - \frac{2\gamma_p \sin \beta}{\pi f_p b_p^2}. \quad (9)$$

Для нижней подзоны Хаббарда  $0 < n_\sigma < 1$ ,  $\gamma_\sigma = 1$ ; для верхней подзоны, где  $1 < n_\sigma < 2$ , величина  $\gamma_\sigma = -1$ . Коэффициенты, относящиеся к  $p$ -электронам, приведены в табл. 2.

Уравнение границы сверхпроводящей и нормальной фаз при  $T = 0$  находим из условия  $\lambda = 0$ , которое вместе с уравнениями состояния (8), (9) определяет область существования сверхпроводящего состояния в переменных  $n_p$ ,  $n_\sigma$ . Результаты машинных вычислений изображены на рис. 2 для области заполнения  $\sigma$ -зоны ( $6 < n_d < 8$ ). Как и в случае  $\pi$ -электронов, из-за высокой плотности  $d$ -состояний сверхпроводящая область находится в полосе между линиями  $n_\sigma = 1 \pm 1/3$  или  $n_d = 7 \pm 1/3$ , граница между которыми «модулируется» менее эффективным взаимодействием, зависящим от концентрации  $p$ -электронов.

При повышении концентрации  $d$ -электронов происходит заполнение наивысшей по энергии ( $x^2 - y^2$ )- $\delta$ -оболочки А-элемента. Согласно

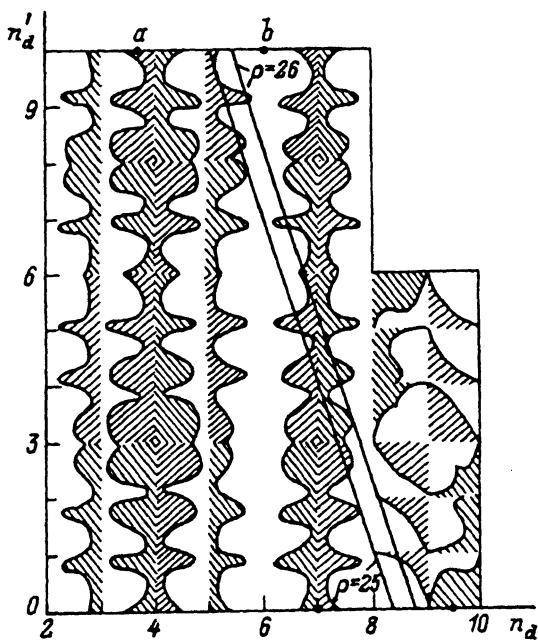


Рис. 2. Фазовая диаграмма существования сверхпроводящего состояния для соединений  $A_3D$  в зависимости от степени заполнения  $d$ -оболочки ( $n_d$ ) и  $d'$ -оболочки ( $n'_d$ ) А- и D-элементов переходных групп.

Остальные обозначения те же, что и на рис. 1.

зонным расчетам [1], энергия перескока этих возбуждений вдоль цепочек весьма мала ( $\leq 0.1$  eV) по сравнению с энергией перескока между цепочками переходного A-элемента и p-электронами B-анионов. Последняя величина имеет порядок 1 eV, и поэтому естественно предположить, что вообще энергия прямого перескока мала по сравнению с гибридизационными матричными элементами  $L_1$ .

Недиагональная часть матрицы туннельных переходов имеет следующий вид (в обозначениях [1]):

$$\hat{T} = \frac{\delta_x}{\delta_x^*} \begin{pmatrix} p_{1x} & p_{2x} \\ 0 & 0 \\ L_1 \tilde{c}_z, & L_1 \tilde{c}_x \tilde{c}_y \end{pmatrix},$$

где  $\tilde{c}_k = \cos(p_k/2)$ .

После умножения этой матрицы на концевой множитель  $f_\sigma$ , а сопряженной матрицы — на  $f_p$  получаем обратную одночастичную функцию Грина в приближении «Хаббард I». При этом диагонализация обратной функции Грина дает четыре ветви спектра

$$\xi_{\mathbf{p}, k}^{(\pm)} \cong \pm \sqrt{(r/2)^2 + b_p^2 f_p f_d w_k^2(\mathbf{p})} - \mu, \quad k = a, b,$$

$$w_a(\mathbf{p}) = 4L_1 \sin(p_z/2), \quad w_b(\mathbf{p}) = 4L_1 [\sin(p_x/2) \sin(p_y/2)].$$

В уравнениях состояния, связывающих числа заполнения  $n_\delta$  и  $n_p$ , фигурируют две пары нормальных координат

$$a_{\mathbf{p}, k}^{(\pm)} = \frac{1}{4} \left[ 1 \pm \frac{(r/2)}{\sqrt{(r/2)^2 + b_p^2 f_p f_\delta w_k^2(\mathbf{p})}} \right],$$

где  $r = \varepsilon_p - \varepsilon_\delta$ . Окончательно получаем следующие уравнения состояния:

$$n_\delta = 2f_\delta \sum_{\mathbf{p}, k, \lambda} a_{\mathbf{p}, k}^{(-\lambda)} n_F(\xi_{\mathbf{p}, k}^{(\lambda)}), \quad f_\delta = 1 - (n_\delta/2), \quad 0 < n_\delta < 1,$$

$$n_\delta = 1 + f_\delta \sum_{\mathbf{p}, k, \lambda} a_{\mathbf{p}, k}^{(-\lambda)} n_F(\xi_{\mathbf{p}, k}^{(\lambda)}), \quad f_\delta = n_\delta/2, \quad 1 < n_\delta < 2,$$

$$n_p = 6f_p \sum_{\mathbf{p}} \left\{ \sum_{k, \lambda} a_{\mathbf{p}, k}^{(+\lambda)} n_F(\xi_{\mathbf{p}, k}^{(\lambda)}) \right\}, \quad f_p = (6 - 5n_p)/6, \quad 0 < n_p < 1,$$

$$n_p = 1 + 9f_p \sum_{\mathbf{p}} \left\{ \sum_{k, \lambda} a_{\mathbf{p}, k}^{(+\lambda)} n_F(\xi_{\mathbf{p}, k}^{(\lambda)}) \right\}, \quad f_p = (4 - n_p)/18, \quad 1 < n_p < 2,$$

$$n_p = 2 + 4f_p \sum_{\mathbf{p}} \left\{ \sum_{k, \lambda} a_{\mathbf{p}, k}^{(+\lambda)} n_F(\xi_{\mathbf{p}, k}^{(\lambda)}) \right\}, \quad f_p = (5n_p - 6)/36, \quad 2 < n_p < 3,$$

$$n_p = 3 + 9f_p \sum_{\mathbf{p}} \left\{ \sum_{k, \lambda} a_{\mathbf{p}, k}^{(+\lambda)} n_F(\xi_{\mathbf{p}, k}^{(\lambda)}) \right\}, \quad f_p = (24 - 5n_p)/36, \quad 3 < n_p < 4,$$

$$n_p = 4 + 6f_p \sum_{\mathbf{p}} \left\{ \sum_{k,\lambda} a_{\mathbf{p},k}^{(+\lambda)} n_F(\xi_{\mathbf{p},k}^{(\lambda)}) \right\}, \quad f_p = (n_p - 2)/18, \quad 4 < n_p < 5,$$

$$n_p = 5 + f_p \sum_{\mathbf{p}} \left\{ \sum_{k,\lambda} a_{\mathbf{p},k}^{(+\lambda)} n_F(\xi_{\mathbf{p},k}^{(\lambda)}) \right\}, \quad f_p = (5n_p - 24)/6, \quad 5 < n_p < 6. \quad (10)$$

Константа БКШ имеет вид, характерный для модели Эмери [7],

$$\lambda_{\pm} = \left[ \sum_{\mathbf{p},k} \delta(\xi_{\mathbf{p},k}^{(\pm)}) \right] \left\{ -\frac{\gamma_{\delta}\varepsilon_p}{f_{\delta}} - \frac{\gamma_p\varepsilon_{\delta}}{b_p^4 f_p} \right\} \frac{\varepsilon_p\varepsilon_{\delta}}{3\mu^2}. \quad (11)$$

Коэффициенты  $\gamma_p$ ,  $b_p^2$ ,  $\gamma_{\delta}$  даны в табл. 3.

Таблица 3

Заполнение	$\gamma_{\delta}$	$f_{\delta}$	$b_{\delta}^2$
$0 < n_{\delta} < 1$	1	$1 - n_{\delta}/2$	1
$1 < n_{\delta} < 2$	-1	$n_{\delta}/2$	1
Заполнение	$\gamma_p$	$f_p$	$b_p^2$
$0 < n_p < 1$	1	$1 - 5n_p/6$	1
$1 < n_p < 2$	$3/2$	$(4 - n_p)/18$	3
$2 < n_p < 3$	$2/3$	$(5n_p - 6)/36$	2
$3 < n_p < 4$	$-2/3$	$(24 - 5n_p)/36$	2
$4 < n_p < 5$	$-3/2$	$(n_p - 2)/18$	3
$5 < n_p < 6$	-1	$(5n_p - 24)/6$	1

Изучим сначала условия возникновения сверхпроводимости в областях, где амплитуды рассеяния  $\gamma_{\delta}$  и  $\gamma_p$  имеют одинаковые знаки, т. е. в двух областях  $\{0 < n_{\delta} < 1, 0 < n_p < 3\}$  и  $\{1 < n_{\delta} < 2, 3 < n_p < 6\}$ , которые связаны между собой преобразованием частично-дырочной симметрии

$$n_{\delta} \rightarrow 2 - n_{\delta}, \quad n_p \rightarrow 6 - n_p.$$

Простой алгебраический анализ общего выражения (11) для константы БКШ приводит к соображению о том, что условие сверхпроводимости  $\lambda > 0$  заведомо выполняется при заполнении верхних гибридизационных подзон  $\xi_{\mathbf{p},k}^{(+)}$ , т. е. когда  $\mu = -(\varepsilon_{\delta} + \varepsilon_p)/2 > 0$ . Далее можно заключить, что начало возникновения сверхпроводимости  $\lambda = 0$  совпадает с условием полного заполнения нижних подзон ( $\xi_{\mathbf{p},k}^{(-)} < 0$  для всех  $\mathbf{p}$  и  $k$ ). Отсюда с помощью уравнений состояния (10) находим явные выражения для граничных кривых при  $T = 0$ .

В случае  $n_{\delta} < 1$  имеем три области существования

$$n_p = 12(1 - n_{\delta})/(12 - n_{\delta}), \quad 0 < n_{\delta} < 1, \quad 1 > n_p > 0,$$

$$n_p = (6 - 5n_{\delta})/(3 - 2n_{\delta}), \quad 0 < n_{\delta} < 1, \quad 2 > n_p > 1,$$

$$n_p = 6(4 - n_{\delta})/(8 + n_{\delta}), \quad 0 < n_{\delta} < 1, \quad 3 > n_p > 2. \quad (12)$$

Если же  $1 < n < 2$ , тогда соответствующие кривые могут быть получены с помощью преобразования частично-дырочной симметрии  $n_\delta \rightarrow 2 - n_\delta$ ,  $n_p \rightarrow 6 - n_p$ .

$$\begin{aligned} n_p &= 12(4 - n_\delta)/(10 - n_\delta), \quad 1 < n_\delta < 2, \quad 4 > n_p > 3, \\ n_p &= (7n_\delta - 2)/(2n_\delta - 1), \quad 1 < n_\delta < 2, \quad 5 > n_p > 4, \\ n_p &= 6(9n_\delta - 8)/(11n_\delta - 10), \quad 1 < n_\delta < 2, \quad 6 > n_p > 5. \end{aligned} \quad (13)$$

В остальных областях  $\{1 < n_\delta < 2, 0 < n_p < 3\}$  и  $\{0 < n_\delta < 1, 3 < n_p < 6\}$  появление сверхпроводимости по-прежнему определяется условием  $\lambda = 0$ . Однако для нахождения границы фаз требуется численное интегрирование уравнений состояния (10). Тем не менее можно утверждать, что для области  $1 < n_\delta < 2$ , где  $\gamma_\delta = -1$ , сверхпроводимость заведомо существует для малого числа  $p$ -возбуждений (при  $\varepsilon_P \gg \varepsilon_d$ ). Отсюда заключаем, что сверхпроводимость существует в трех областях: A)  $1 < n_\delta < 2, n_p \ll 1$ ; B)  $1 < n_\delta < 2, 0 < (n_p - 1) \ll 1$ ; C)  $1 < n_\delta < 2, 0 < (n_p - 2) \ll 1$ .

## 2. Соединения двух переходных элементов

В соединениях  $A_3D$ , у которых D-элемент имеет недозаполненную  $d'$ -оболочку, происходит одновременное заполнение  $d$ -состояний в A- и D-подрешетках. D-атомы расположены в простой кубической решетке. По этой причине их нижние  $d'$ -состояния имеют трехкратное вырождение и преобразуются по векторному  $t$ -представлению, изоморфному трем  $p$ -состояниям. Соответственно этому фазовая диаграмма соединений  $A_3D$  в области  $0 < n'_d < 6$  для всех  $n_d$  качественно не отличается от фазовой диаграммы  $A_3B$  в области  $0 < n_p < 6$ .

Отличие возникает, когда  $n'_d > 6$ , т. е. когда заполняется двукратно вырожденная  $e_g$ -оболочка D-элемента.

Если предположить, что гибридизация мала по сравнению с энергией перескока к ближайшему атому, тогда можно получить простейшие уравнения с учетом сильного отталкивания.

При заполнении  $(xz, yz)$ -оболочки четырьмя электронами имеем только диагональные матричные элементы для распространения электронов вдоль цепочек. При заполнении  $e$ -оболочки в простой кубической решетке всегда получаем две ветви трехмерного спектра.

По этой причине соответствующая затравочная плотность состояний  $\rho^*(\varepsilon)$  может быть смоделирована полуэллиптической функцией. После подстановки  $\varepsilon = -\cos(\delta/2)$  получаем следующие уравнения состояния при  $T = 0$ , ( $0 < \delta < 2\pi$ ):

$$\begin{aligned} n_e &= 4f_e(\delta - \sin \delta)/2\pi, \quad f_e = 1 - 3n_e/4, \quad 0 < n_e < 1, \\ n_e &= 1 + 3f_e(\delta - \sin \delta)/2\pi, \quad f_e = (2 + n_e)/12, \quad 1 < n_e < 2, \\ n_e &= 2 + 4f_e(\delta - \sin \delta)/2\pi, \quad f_e = (6 - n_e)/12, \quad 2 < n_e < 3, \\ n_e &= 3 + f_e(\delta - \sin \delta)/2\pi, \quad f_e = (3n_e - 8)/4, \quad 3 < n_e < 4. \end{aligned} \quad (14)$$

К этим уравнениям следует добавить уравнения состояния заполняющейся  $(xz, yz)$ -оболочки A-катионов (см. уравнения (6),  $0 < \varphi < \pi$ )

$$\begin{aligned} n_\pi &= 4f_\pi\varphi/\pi, \quad f_\pi = 1 - 3n_\pi/4, \quad 0 < n_\pi < 1, \\ n_\pi &= 1 + 3f_\pi\varphi/\pi, \quad f_\pi = (2 + n_\pi)/12, \quad 1 < n_\pi < 2, \\ n_\pi &= 2 + 4f_\pi\varphi/\pi, \quad f_\pi = (6 - n_\pi)/12, \quad 2 < n_\pi < 3, \\ n_\pi &= 3 + f_\pi\varphi/\pi, \quad f_\pi = (3n_\pi - 8)/4, \quad 3 < n_\pi < 4. \end{aligned} \quad (15)$$

Для нахождения сверхпроводящих областей к уравнениям состояния (14) и (15) необходимо присоединить выражение для константы БКШ

$$\lambda = -\frac{2\gamma_e \sin \delta}{\pi b_e^2 f_e} - \frac{2\gamma_\pi \operatorname{ctg} \varphi}{\pi b_\pi^2 f_\pi}. \quad (16)$$

Парциальные амплитуды рассеяния  $\gamma_e$  и коэффициенты  $b_e^2$  совпадают в совпадающих интервалах с  $\gamma_\pi$  и  $b_\pi^2$ , которые в свою очередь можно найти в табл. 2.

Фазовая диаграмма инварианта относительно преобразований частично-дырочной симметрии  $n_\pi \rightarrow 4 - n_\pi$ ,  $n_e \rightarrow 4 - n_e$ .

Рассмотрим, наконец, случай заполнения  $(3z^2 - r^2)$ -состояний А-элемента ( $\sigma$ -зона в терминологии [1]) и  $e$ -состояний D-элемента для изучаемого соединения  $A_3D$ . Как уже было замечено, энергия перескока  $\sigma$ -состояний вдоль цепочки достаточно велика по сравнению с энергией гибридизации, однако остается малой по сравнению с энергией Хаббарда. По этой причине энергия  $\sigma$ -возбуждений определяется простейшим соотношением (6), а уравнения состояния совпадают с (7). Если предположить, что и для  $e$ -состояний справедливы эти же предположения, тогда при  $T = 0$  получим следующие уравнения состояния ( $0 < \varphi < \pi$ ,  $0 < \sigma < 2\pi$ ):

$$\begin{aligned} n_\sigma &= 2f_\sigma\varphi/\pi, \quad f_\sigma = 1 - n_\sigma/2, \quad 0 < n_\sigma < 1, \\ n_\sigma &= 1 + f_\sigma\varphi/\pi, \quad f_\sigma = n_\sigma/2, \quad 1 < n_\sigma < 2; \\ n_e &= 4f_e(\delta - \sin \delta)/2\pi, \quad f_e = 1 - 3n_e/4, \quad 0 < n_e < 1, \\ n_e &= 1 + 3f_e(\delta - \sin \delta)/2\pi, \quad f_e = (2 + n_e)/12, \quad 1 < n_e < 2, \\ n_e &= 2 + 4f_e(\delta - \sin \delta)/2\pi, \quad f_e = (6 - n_e)/12, \quad 2 < n_e < 3, \\ n_e &= 3 + f_e(\delta - \sin \delta)/2\pi, \quad f_e = (3n_e - 8)/4, \quad 3 < n_e < 4. \end{aligned} \quad (17)$$

Константа БКШ также может быть выражена через углы  $\varphi$  и  $\sigma$

$$\lambda = -\frac{2\gamma_e \sin \delta}{\pi b_e^2 f_e} - \frac{2\gamma_\sigma \operatorname{ctg} \varphi}{\pi f_\sigma}. \quad (19)$$

Таблица 4

Заполнение	$\gamma_\sigma$	$f_\sigma$	$b_\sigma^2$
$0 < n_\sigma < 1$	1	$1 - n_\sigma/2$	1
$1 < n_\sigma < 2$	-1	$n_\sigma/2$	1
Заполнение	$\gamma_e$	$f_e$	$b_e^2$
$0 < n_e < 1$	1	$1 - 3n_p/4$	1
$1 < n_e < 2$	$3/4$	$(2 + n_e)/12$	$3/2$
$2 < n_e < 3$	$-3/4$	$(6 - n_p)/12$	$3/2$
$3 < n_e < 4$	-1	$(3n_p - 8)/4$	1

Коэффициенты  $\gamma_e$ ,  $b_e^2$  и  $\gamma_\sigma$  приведены в табл. 4.

Фазовая диаграмма, получаемая из условия  $\lambda = 0$ , инвариантна относительно частично-дышрочного преобразования:  $n_e \rightarrow 4 - n_e$ ,  $n_\sigma \rightarrow 2 - n_\sigma$ . Результаты машинных вычислений фазовой диаграммы приведены на рис. 2. Переменные  $n_e$ ,  $n_\pi$  и  $n_\sigma$  связаны с  $n'_d$  и  $n_d$  с помощью очевидных соотношений  $n_e = n'_d - 6$ ,  $n_\pi = n_d - 2$ ,  $n_\sigma = n_d - 6$ .

Из того же рис. 2 следует, что нет необходимости изучать весьма сложную ситуацию, когда происходит заполнение  $e$ -оболочки D-элемента и заполнение  $(x^2 - y^2)$ -оболочки A-элемента. Соответствующая область изменения переменных  $n'_d$  и  $n_d$   $\{6 < n'_d < 10, 8 < n_d < 10\}$  выпадает из фактической области существования сверхпроводящих соединений типа A<sub>3</sub>D.

Случай одновременного заполнения  $(x^2 - y^2)$ -оболочки A-элемента и заполнения  $(xz, yz, xy)$ -t-оболочки D-элемента отвечает области изменения переменных  $n'_d$  и  $n_d$   $\{0 < n'_d < 6, 8 < n_d < 10\}$ , которая частично перекрывается с областью существования изучаемых сверхпроводящих соединений (рис. 2).

Согласно зонным расчетам [1], матричный элемент прямого перескока весьма мал ( $\leq 0.3$  eV). Если предположить, что энергия перескока между A- и D-элементами велика не только по сравнению с 0.3 eV, но и по сравнению с энергией перескока между ближайшими D-элементами, то эффективный гамильтониан системы преобразуется к гамильтониану обобщенной модели Эмери [4]. В нашем случае дело сводится к простому изменению обозначений в соотношениях (10), (11) и в окончательных результатах (12), (13)

$$n_p \rightarrow n_t, \quad b_p^2 \rightarrow b_t^2, \quad f_p \rightarrow f_t, \quad \gamma_p \rightarrow \gamma_t, \quad (20)$$

где теперь  $n_t = n'_d$  — среднему числу d-электронов на недостроенной t-оболочке D-элемента.

Для того чтобы получить фазовую диаграмму в области  $\{6 < n_d < 8, 0 < n'_d < 6\}$ , достаточно произвести те же замены (20) в соотношениях (6) и (9). В результате получаем уравнения состояния и константу БКШ для случая заполнения  $(3z^2 - r^2)$ -оболочки A-элемента при одновременном заполнении t-оболочки D-элемента.

Для получения фазовой диаграммы в области  $\{2 < n_d < 6, 0 < n'_d < 6\}$  достаточно произвести замены (20) в соотношениях (4)–(6).

После чего находим уравнения состояния и константу БКШ для случая заполнения  $(xz, yz)$ -оболочки А-элемента и  $t$ -оболочки D-элемента.

Таким образом, при сделанных упрощениях фазовая диаграмма соединений  $A_3B$  после замены  $n_p \rightarrow n'_d$  для всех  $n'_d < 6$  совпадает с фазовой диаграммой соединений  $A_3D$ .

### 3. Обсуждение результатов

Общим свойством фазовой диаграммы  $n_d, n_p$  для соединений с непереходным элементом и фазовой диаграммы  $n_d, n'_d$  для соединений с переходным металлом является возможность возникновения сверхпроводимости внутри каждого квадрата, ограниченного целочисленными значениями  $[n_d] < n_d < [n_d] + 1, [n_p] < n_p < [n_p] + 1$  для соединений с переходным или  $[n_d] < n_d < [n_d] + 1, [n'_d] < n'_d < [n'_d] + 1$  для соединений с элементом переходной группы.

Можно также утверждать, что внутри каждого выделенного выше квадрата существует область существования нормальной фазы. Отсюда заключаем, что каждый выделенный квадрат содержит внутри себя как сверхпроводящую, так и нормальную область.

Особенность нашей модели состоит в том, что в простейшем пределе для большей части областей  $0 < n_d < 8, 0 < n_p < 6$  или  $0 < n'_d < 10$  эффективная константа БКШ есть сумма констант с множителями, пропорциональными амплитуде рассеяния квазичастиц, соответствующей данному квадрату. Это обстоятельство обусловлено слабой гибридизацией состояний, относящихся к разным ближайшим атомам.  $(x^2 - y^2)$ -состояния сильно гибридизуются с любым  $p$ -состоянием катиона В (точно так же, как и с любыми из  $t$ -состояний D-элемента). По этой причине для всей области  $8 < n_d < 10$  эффективная константа БКШ пропорциональна плотности состояний на поверхности Ферми с множителем, зависящим как от положения Ферми  $\mu = -(\varepsilon_p + \varepsilon_d)/2$ , так и от величины энергетической разности  $r = \varepsilon_p - \varepsilon_d$ .

При перемещении вдоль линий электронейтральности  $3n_d + n_p = \rho$  на фазовой диаграмме  $n_d, n_p$  для соединений с непереходным элементом химический потенциал оказывается фиксированным, в то время как параметр  $r$  формально меняется от  $-\infty$  до  $+\infty$ . Как видно из рис. 1, для малых значений  $\rho = 14$  и  $15$  линия электронейтральности пересекает теоретическую область существования сверхпроводящего состояния, что согласуется с экспериментальными данными, собранными в табл. 1.

Значениям  $\rho = 16$  и  $17$  отвечает большая группа «высокотемпературных» соединений  $A_3B$ , что соответствует прохождению линий электронейтральности  $\rho = 16$  и  $17$  внутри широкой «сверхпроводящей» области.

Для больших значений  $\rho$  от  $18$  до  $20$  предлагаемая теория близка к противоречию с экспериментом, так как эти линии пересекают большое число малых сверхпроводящих областей, в то время как соответствующие соединения имеют весьма малую  $T_c$  или вообще не являются сверхпроводниками.

Линия электронейтральности  $\rho = 21$  почти нигде не пересекает сверхпроводящую область, что согласуется с фактом полного отсутствия сверхпроводящих соединений для данного  $\rho$ .

Существование сверхпроводящих  $\text{Mo}_3\text{O}$  и  $\text{W}_3\text{O}$  вполне можно объяснить наличием сверхпроводящей области в окрестности точки  $(5.96, 4.1)$ , через которую проходит линия электронейтральности  $\rho = 22$ .

Для соединений двух переходных элементов  $\text{A}_3\text{D}$  произведем сравнение с экспериментом для различных значений полного числа  $d$ -электронов  $\rho = 3n_d + n'_d$ , приходящихся на элементарную ячейку.

Как и в случае соединений с непереходным элементом, здесь имеются два выделенных значения  $\rho = 25$  и  $26$ , для которых, с одной стороны, имеем соединения с максимальной  $T_c$ , а с другой стороны, линия электронейтральности пересекает широкую область существования сверхпроводящих состояний  $\{n_d \approx 7, 3 < n'_d < 6\}$ .

Согласно рис. 1, на линии электронейтральности  $\rho = 24$  не имеется ни одного сверхпроводящего соединения. Этот факт противоречит настоящей теории, так как на рис. 2 эта линия пересекает две сверхпроводящие области.

Вдоль остальных линий электронейтральности ( $\rho = 21, 22$  и  $23$ , а также  $\rho = 27$  и  $28$ ) имеются соединения с невысокой  $T_c$ . Как видно из рис. 2, каждая из этих линий пересекает несколько сверхпроводящих областей, что позволяет согласовать теорию с экспериментом.

Работа была поддержана Международным фондом Дж. Сороса (грант MSA000, MSA300).

#### Список литературы

- [1] M. Veger, I. Goldberg. Sol. Stat. Phys. **28**, 2 (1973).
- [2] B.T. Matthias, T.H. Geballe, V.B. Compton. Rev. Mod. Phys. **35**, 1 (1963).
- [3] D. Hubbard. Proc. Roy. Soc. A **276**, 238 (1963).
- [4] V.J. Emery. Phys. Rev. Lett. **58**, 2794 (1987).
- [5] R.O. Zaitsev. Phys. Lett. **A134**, 199 (1988).
- [6] Р.О. Зайцев. ФТТ **29**, 6, 1631 (1987).
- [7] R.O. Zaitsev. Solid State Commun. **76**, 795 (1990).